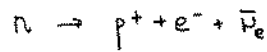


## 7.2 Paritätsverletzung [Lee, Yang 1956]

(69)

Die schwachen Wechselwirkungen wurden ursprünglich als die Ursache für den  $\beta$ -Zerfall des Neutrons entdeckt:



In 1932 hat Fermi ein Modell für diesen Prozeß vorgeschlagen:

$$\hat{\mathcal{L}}_I = -G_F \left\{ \hat{n} \gamma^\mu \hat{p} \hat{\nu}_e \gamma_\mu \hat{e} + \hat{p} \gamma^\mu \hat{n} \hat{e} \gamma_\mu \hat{\nu}_e \right\}.$$

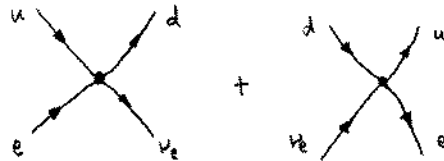
Hier sind  $\hat{p}, \hat{n}, \hat{e}, \hat{\nu}_e, \hat{\bar{p}}, \hat{\bar{n}}, \hat{\bar{e}}, \hat{\bar{\nu}_e}$  Feldoperatoren, und  $G_F$  ist die "Fermi-Kopplung",  $G_F = 1.166 \times 10^{-5} \text{ GeV}^{-2}$ .

Heute würden wir Nukleonen mit Partonen ersetzen:

$$\hat{\mathcal{L}}_I = -G_F \left\{ \hat{d} \gamma^\mu \hat{u} \hat{\nu}_e \gamma_\mu \hat{e} + \text{hc} \right\}.$$

"derselbe Ausdruck aber hermitesch konjugiert"

Die Feynman-Vertizes:



Mitte 50er Jahre wurde ein unerwartetes und erstaunliches Phänomen in solchen Zerfällen bemerkt: Parität wird verletzt! Diese Tatsache führt wiederum zu weitreichenden Konsequenzen, z.B. Baryonzahlverletzung.

Wie ist es dazu gekommen?

- (i)  $K^+$  zerfällt als  $K^+ \rightarrow \pi^+ + \pi^0$  ( $P=+1$ ) und auch als  $K^+ \rightarrow \pi^+ + \pi^0 + \pi^0$  ( $P=+1$ ) und  $\pi^+ + \pi^+ + \pi^-$  ( $P=-1$ )!

- (ii) Das berühmte Experiment von C.S. Wu [1957]:

Kobalt-60



wird beobachtet!

$\hat{P}$  davon:



wird nicht beobachtet!

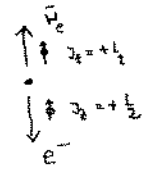
Eine andere Darstellung:

Kobalt-60

Nickel-60



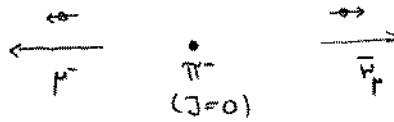
+



⇒  $\bar{\nu}_e$  sollte immer "rechtshändig" sein (S. 28), mit Helizität  $h=+1$

⇒  $\nu_e$  — "linkshändig" — " " —  $h=-1$

(iii)  $\pi^- \rightarrow \mu^- + \bar{\nu}_\mu$  [1961]



Das Myon wird mit  $h=1$  beobachtet.

Das Antineutrino wird überhaupt nicht gesehen, aber muß auch  $h=+1$  haben, wegen Erhaltung des Drehimpulses!

Diese Beobachtungen verlangen eine Änderung des Fermi-Modells!

Das Modell muß immer noch Lorentz-invariant bleiben  $\Rightarrow$  den Helizitätsoperator von S. 27 können wir nicht benutzen. Aber die Chiralitätsprojektoren  $P_L, P_R$  von S. 28 sind nutzbar, und für masselose Teilchen wie die Neutrinos sind Helizität und Chiralität sowieso äquivalent. Also müssen schwache Wechselwirkungen nur "linkshändige" ( $P_L$ ) Teilchen / "rechtshändige" ( $P_R$ ) Antiteilchen erzeugen!

$$P_L \equiv \frac{1-\gamma_5}{2} \quad ; \quad P_R \equiv \frac{1+\gamma_5}{2} \quad ; \quad \psi_L \equiv P_L \cdot \psi \quad ; \quad \psi_R \equiv P_R \cdot \psi$$

$$\Rightarrow \hat{\mathcal{L}}_I^{V-A} \equiv -2\sqrt{2} G_F \left\{ \hat{d} \gamma^\mu P_L \hat{u} \hat{\bar{\nu}}_e \gamma_\mu P_L \hat{e} + \hat{u} \gamma^\mu P_L \hat{d} \hat{e} \gamma_\mu P_L \hat{\bar{\nu}}_e \right\}$$

vgl. Übungen  $\rightarrow -2\sqrt{2} G_F \left\{ \hat{d}_L \gamma^\mu \hat{u}_L \hat{\bar{\nu}}_{eL} \gamma_\mu \hat{e}_L + \hat{u}_L \gamma^\mu \hat{d}_L \hat{e}_L \gamma_\mu \hat{\bar{\nu}}_{eL} \right\}$

(Dieses Modell wird ein "V-A"-Modell benannt, weil es bewiesen werden kann, daß  $\bar{\psi}_1 \gamma_\mu \psi_2$  sich als ein Vektor und  $\bar{\psi}_1 \gamma_\mu \gamma_5 \psi_2$  sich als ein axialer Vektor (vgl. S. 67) transformiert.)

### 7.3 Seltsamkeitsverletzung

Es ist nicht nur die Parität, die in schwachen Wechselwirkungen verletzt wird, sondern auch viele andere Quantenzahlen. Zum Beispiel:

$$K^+ \rightarrow \begin{matrix} \pi^+ \pi^0 \\ \pi^+ \pi^0 \pi^0 \end{matrix} \Rightarrow \text{Seltsamkeit } S \text{ wird verletzt}$$

$$D^0 \rightarrow K^- \pi^+ \pi^0 \Rightarrow \text{Charmness } C \text{ ---"---}$$

Wie können diese Reaktionen in das Fermi-Modell eingeschlossen werden?

Wir führen Fermiondupletten ein, bestimmt durch die elektrische Ladung und die "Generation" der Teilchen.

$$\text{Leptonen: } L_1 \equiv \begin{pmatrix} \nu_e \\ e \end{pmatrix}; L_2 \equiv \begin{pmatrix} \nu_\mu \\ \mu \end{pmatrix} \leftarrow Q=0$$

$$\leftarrow Q=-1$$

$$\text{Quarks: } Q_1 \equiv \begin{pmatrix} u \\ d \end{pmatrix}; Q_2 \equiv \begin{pmatrix} c \\ s \end{pmatrix} \leftarrow Q = +\frac{2}{3}$$

$$\leftarrow Q = -\frac{1}{3}$$

(In beiden Fällen gibt es auch eine dritte Generation, die wir allerdings momentan vernachlässigen können.)

Aber wie wissen wir eigentlich, daß sowohl c als auch s nur zur zweiten Generation gehören? Wir können eine Konvention nehmen, wobei c die zweite Generation definiert, aber dann sollten die unteren Komponenten eigentlich Linearkombinationen von d und s sein. Und in der Tat:

$$Q'_1 \equiv \begin{pmatrix} u \\ d' \end{pmatrix}; Q'_2 \equiv \begin{pmatrix} c \\ s' \end{pmatrix}$$

$$\begin{pmatrix} d' \\ s' \end{pmatrix} = \begin{pmatrix} \cos\theta_c & \sin\theta_c \\ -\sin\theta_c & \cos\theta_c \end{pmatrix} \begin{pmatrix} d \\ s \end{pmatrix}$$

$$\theta_c \equiv \text{Cabibbo-Winkel} \approx 13.1^\circ$$

Warum tun wir nicht dasselbe auch mit  $L_1, L_2$ ?

Weil  $\nu_e$  und  $\nu_\mu$  beide (in guter Näherung) masselos sind, und deshalb (fast) identisch  $\Rightarrow$  eine Rotation macht keinen Unterschied!

Jetzt die Verallgemeinerung! Das ursprüngliche Fermi-Modell (S.70):

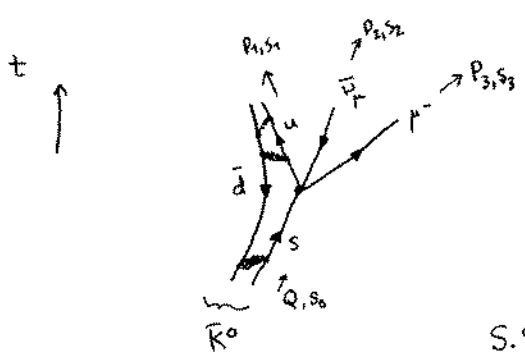
$$\hat{\mathcal{L}}_I = -2\sqrt{2} G_F \left\{ \hat{Q}_{1L} \begin{pmatrix} 0 & 0 \\ \gamma^* & 0 \end{pmatrix} \hat{Q}_{2L} \hat{L}_{1L} \begin{pmatrix} 0 & \gamma^* \\ 0 & 0 \end{pmatrix} \hat{L}_{2L} + h.c. \right\}$$

⇒ Die neue Version:

$$\hat{\mathcal{L}}_I = -2\sqrt{2} G_F \sum_{D_L} \sum_{D'_L} \hat{D}_L \begin{pmatrix} 0 & 0 \\ \gamma^* & 0 \end{pmatrix} \hat{D}'_L \begin{pmatrix} 0 & \gamma^* \\ 0 & 0 \end{pmatrix} \hat{D}_L$$

wo  $D_L, D'_L \in \{Q_{1L}, Q_{2L}, L_{1L}, L_{2L}\}$ . Sehr einfach, aber sehr viele verschiedene wichtige Prozesse drin!

Beispiel: Was passiert im Zerfall  $K^0 \rightarrow \pi^+ \mu^- \bar{\nu}_\mu$  ?



S.26: auslaufende Teilchen in  $\hat{\Psi}$   
 einlaufende Teilchen +  
 auslaufende Antiteilchen in  $\hat{\Psi}$ .

⇒ kommt von

$$\hat{\mathcal{L}}_I = -2\sqrt{2} G_F \hat{\bar{u}}_L \gamma^\mu \hat{P}_L \hat{u}_L \hat{\bar{\nu}}_L \gamma_\mu \hat{d}_L$$

$$\Rightarrow -2\sqrt{2} G_F \sin\theta_c \hat{\bar{u}}_L \gamma^\mu \hat{P}_L \hat{u}_L \hat{\bar{\nu}}_L \gamma_\mu \hat{P}_L \hat{s}$$

Die Amplitude (S.45, 52):

$$\mathcal{M} = -\frac{i}{\sqrt{2}} G_F \sin\theta_c \bar{u}(p_2, s_2) \gamma^\mu (1-\gamma_5) v(p_3, s_3)$$

$$\times \bar{u}(p_1, s_1) \gamma_\mu (1-\gamma_5) u(q, s_0)$$

Dann könnten wir  $|\mathcal{M}|^2$  berechnen, wie bisher!

